

مقاله پژوهشی

## بررسی فاکتور افزایش دوز تومور با حضور نانو ذرات مختلف در براکی-ترابی پروستات به روش مونت کارلو

علیرضا گلشن<sup>۱</sup>، مهدی بخش آبادی<sup>۲\*</sup>، محسن خسروآبادی<sup>۳</sup>، محمد مهرپویان<sup>۴</sup>

<sup>۱</sup> استادیار دانشکده پزشکی، دانشگاه علوم پزشکی خراسان شمالی، بجنورد، ایران

<sup>۲</sup> کارشناس پژوهش، دانشگاه علوم پزشکی خراسان شمالی، بجنورد، ایران

<sup>۳</sup> مریم دانشکده پزشکی، دانشگاه علوم پزشکی خراسان شمالی، بجنورد، ایران

<sup>۴</sup> مریم گروه بیوشیمی و تغذیه، دانشکده پزشکی، دانشگاه علوم پزشکی سبزوار، سبزوار، ایران

نشانی نویسنده مسئول: آدرس: بجنورد، خیابان شریعتی جنوبی، کوچه شهید کریمی راد، معاونت تحقیقات و فناوری، دانشگاه علوم پزشکی خراسان شمالی، مهدی بخش آبادی

E-mail: m.bakhshabadi@gmail.com

وصول: ۹۳/۱/۱۸، اصلاح: ۹۳/۲/۲۱، پذیرش: ۹۳/۳/۱

### چکیده

**زمینه و هدف:** بکی از راههای درمان پروستات، استفاده از چشممهای براکی ترابی کم انرژی مانند ۱۲۵ ایکوتا است. هدف ما در این مطالعه، بررسی فاکتور افزایش دوز تومور با حضور نانو ذرات مختلف در براکی ترابی پروستات به روش مونت کارلو و بررسی اثر حضور نانو ذرات بر منحنی های هم دوز در براکی ترابی پروستات می باشد.

**مواد و روش ها:** در این مطالعه، چشممهای براکی ترابی ۱۲۵-۱۲۵ مدل SL-125/SH-125 با استفاده از کد MCNPX مونت کارلو، شبیه سازی شد. پس از محاسبه و تایید پارامترهای گروه کاری<sup>۴</sup> انجمن فیزیک پزشکی آمریکا (TG-43) برای آن، فاکتور افزایش دوز در مقطع مرکزی تومور در اثر حضور مواد جاذب Fe<sub>2</sub>O<sub>3</sub>, Ag, Pt, Gd و Au به صورت نانو ذره با سه غلظت ۷, ۱۸ و ۳۰ میلی گرم بر میلی لیتر در تومور به طور جداگانه بررسی شد.

**یافته ها:** مقدار ثابت آهنگ دوز  $U^{-1} \text{Gyh}^{-1}$  ۹۵۴/۰ به دست آمد. مقدار بیشینه فاکتور افزایش دوز در روی مقطع مرکزی در راستای محور X برای ماده های Fe<sub>2</sub>O<sub>3</sub>, Ag, Pt, Gd, Au به ترتیب برابر ۱/۲۷, ۱/۱۵, ۱/۱۴, ۱/۳۲ و ۱/۷۹ می باشد. همچنین در اثر حضور نانو ذرات، شکل منحنی هم دوز برای کاتورهای ۱۰۰ درصد به سمت مرکز تومور و منحنی ۵۰ درصد به سمت خارج تومور متمایل می شوند. فاکتور افزایش دوز با افزایش غلظت و با افزایش عدد اتمی نانو ذرات، نظم خاصی را در افزایش یا کاهش نشان نداد.

**نتیجه گیری:** با توجه به نتایج حاصل از شبیه سازی، می توان به این نتیجه رسید که حضور نانو ذرات، باعث افزایش دوز در تومور و کاهش دوز در خارج تومور بر روی منحنی های هم دوز می شود. لذا می توان زمان درمان و اکتیویته را کاهش داد. بنابراین، استفاده های بالینی از این نانو ذرات به منظور افزایش دوز در براکی ترابی پروستات توصیه می گردد.

**واژه های کلیدی:** نانو ذرات، فاکتور افزایش دوز، براکی ترابی پروستات، شبیه سازی مونت کارلو.

#### مقدمه

گردد (۷). در مطالعات مختلفی، فاکتور افزایش دوز ناشی از حضور نانوذرات در تومور در پرتودرمانی مورد بررسی قرار گرفته است. در برخی از مطالعات، فاکتور افزایش دوز ناشی از مواد نانو ذرات بر روی حیوانات بررسی شده است (۸-۱۰) که در ادامه یکی از آن ها مرور می شود. در مطالعه ای که توسط رسک (Roeske JC) و همکاران انجام شد، با تزریق نانوذرات به بدن موش ها، به بررسی افزایش دوز دراثر حضور نانو ذرات و تغییر غلظت آن ها پرداخته شده است. هدف از این تحقیق آن بوده است که میزان افزایش دوز در اثر حضور نانو ذرات را تخمین بزند و ترکیب بهینه ای برای نوع نانو ذره و نوع چشمی و پرتو یونیزان تعیین شود. در این تحقیق، نسبت افزایش دوز (DER) برای حالتی که نانو ذرات عدد اتمی بین ۳۰ تا ۹۰ داشته باشند و پرتوی یونیزان پرتو با انرژی های مختلف مورد استفاده در پرتو درمانی خارجی و برآکتی تراپی kVp ۶۰، ۵۰، ۴۰، ۳۰ و ۲۰ MV و کیلول-۶۰ و یا چشمی سزیوم-۱۳۷، ایریدیوم-۱۹۲، پالادیوم-۱۰۳ و ید-۱۲۵ باشند بررسی شد. در نانو ذرات با عدد اتمی ۴۰ تا ۶۰، نسبت افزایش دوز ثابت است. برای نانو ذرات با عدد اتمی بزرگتر از ۶۰، مجدداً افزایش می یابد تا نهایتاً در عدد اتمی ۹۰، به بیشترین مقدار خود می رسد (بین ۲۵ تا ۳۲۱ درصد). نتایج این تحقیق، بیان می کند که اگر عدد اتمی بالا و پرتو کم انرژی با هم به صورت هم زمان وجود داشته باشند، بیشترین افزایش دوز رخ خواهد داد (۹).

در تحقیقی که توسط ژانگ و همکاران در سال ۲۰۰۸ انجام شد، نانوذرات طلا با استفاده از مولکول HAuCl<sub>4</sub> به عنوان عامل احیای شیمیایی استفاده شده است. نتایج این تحقیق نشان دادند که استفاده از نانو ذرات طلای متصل شده به گلوکز، می تواند حساسیت و سمیت پرتویی را به هنگام پرتوگیری در سلول های توموری پروستات افزایش دهد. همچنین پیشنهاد شده است که انجام

سرطان پروستات، یک بیماری شایع در مردان است. در تحقیقی که توسط کوبان و همکارانش در سال ۲۰۰۷ در امریکا انجام شد، اعلام گردید که در امریکا از هر شش مرد، یک نفر مبتلا به سرطان پروستات می شود. در امریکا، سالانه دویست و سی هزار مورد سرطان پروستات گزارش می شود که بیست و هفت هزار مورد از آن ها، به مرگ منجر می شوند (۱). از این روز، از دهه ۱۹۶۰ پرتودرمانی به عنوان درمانی برای درمان سرطان پروستات معروفی شد (۲) و یکی از راه های درمان پروستات، استفاده از چشممه های برآکتی تراپی کم انرژی مانند پالادیوم-۱۰۳ و ید-۱۲۵ می باشد (۳).

یکی از اهدافی که همواره در پرتودرمانی موردنظر است، تابش دوز مناسب به تومور و در عین حال، کاهش دوز دریافتی توسط بافت های سالم اطراف تومور است و موفقیت در پرتودرمانی، منوط به همین هدف است (۴). در صورتی که بتوان در پرتودرمانی، به طریقی دوز در تومور را افزایش داد، می توان با کم کردن زمان کل درمان در طی جلسات درمانی، دوز دریافتی توسط بافت های سالمی را که در مسیر پرتو قرار می گیرند، کاهش داد. برای این منظور، می توان به هنگام پرتودرمانی، از مواد با عدد اتمی بالا برای افزایش دوز در تومور استفاده کرد (۵). در انرژی های فوتونی کم، به خاطر غالب بودن اثر فوتوالکتریک (که با توان سوم عدد اتمی ماده ای جاذب اشعه مناسب است)، میزان جذب اشعه بیشتر است. همچنین با افزایش غلظت ماده ای جاذب، میزان جذب اشعه در تومور افزایش می یابد (۶). برای بررسی میزان افزایش دوز در حضور مواد جاذب در تومور، از کمیت فاکتور افزایش دوز (Dose Enhancement Ratio) استفاده می شود. این کمیت، به صورت نسبت (به صورت درصد) دوز در یک نقطه در داخل تومور در حضور ماده ای نانو ذرات با عدد اتمی بالا (ماده ای جاذب) به دوز در همان نقطه ای بدون حضور ماده با عدد اتمی بالا تعریف می -

مقایسه خواهند شد. همچنین اثر حضور مواد نانو ذرات بر روی منحنی های هم دوز نیز در برآکی تراپی پروستات موربد بررسی قرار گرفت.

## مواد و روش ها

چشممه ی ید ۱۲۵:

SL-125 در این مطالعه، چشممه ی برآکی تراپی ید- ۱۲۵ مدل- Mills Biopharmaceuticals 125/SN-125 ساخت شرکت که در مراکز درمانی دنیا به منظور برآکی تراپی پروستات مورد استفاده قرار می گیرد، شیوه سازی شد (۱۶). قسمت فعال این چشممه، از تعداد ۵ کره که از جنس نقره هستند، تشکیل شده است. ماده رادیواکتیو ید، روی این کره ها را به صورت سطحی پوشانده است. کپسولی که ضخامت لایه تیتانیوم جانبی آن mm ۰/۰۵، طول خارجی mm ۴/۵، قطر خارجی mm ۰/۸ و ضخامت تیتانیوم انتهای کپسول mm ۰/۳ به صورت شکل، چشممه را پوشانده است، بین چشممه و کپسول با هوا پرشده است. هندسه ای این چشممه، شامل ابعاد و جنس مواد قسمت های مختلف چشممه در شکل ۱ نشان داده شده است (۱۷).

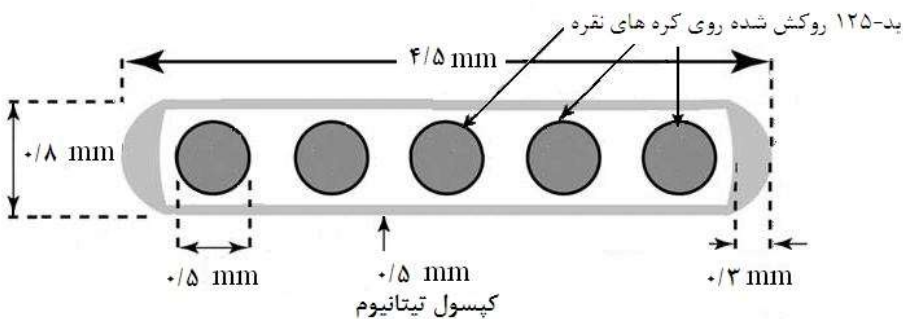
محاسبه ی پارامترهای TG-43 :

پارامترهای TG-43 (۱۸) از قبیل ثابت آهنگ دوز (DRC)، تابع دوز ساعی (RDF)، تابع ناهمسانگردی (Anisotropic Function) برای چشممه محاسبه شد و با داده های منتشر شده از مطالعه ریوراد و همکاران (۱۶) برای این چشممه مقایسه شد. برای محاسبه پارامتر ثابت آهنگ دوز از کد مونت کارلو MCNPX.2.6 استفاده گردید (۱۹).

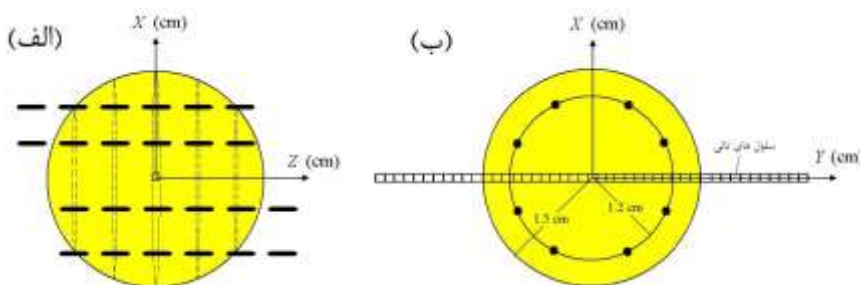
برای محاسبه قدرت کرمای هوا (AKS) که در محاسبه DRC به کار می رود، همانند مطالعه بحرینی طوسی و همکاران (۱۹) انجام شد، به این طریق که چشممه را درون کره ای از خلا به شعاع ۱۰۰ سانتی متر قراردادیم و تا فاصله ۴۰ سانتی متری از چشممه در هر cm ۱ چنبره هایی از جنس هوا به ضخامت cm ۰/۰۵ و پهنای

آزمایش های داخل بدنی برای تایید نتایج این تحقیق، می تواند در مطالعات بعدی مفید باشد (۱۰). ژانگ (Zhang) (SX) و همکارانش با استفاده از روش مونت کارلو به محاسبه میزان افزایش دوز ناشی از حضور نانوذرات پرداختند. آنها از چشممه ی برآکی تراپی ایریدیوم ۱۹۲ به عنوان چشممه ی تابش استفاده کردند و نتایج این مدل را با نتایج به دست آمده از حالت ساده مخلوط آب و طلا مقایسه کردند. نتایج آنها نشان داد که با عدم تعریف دقیق نانوذرات (مدل ساده) در مواردی، افزایش دوز در تومور تا ۱۶ درصد بیشتر از مقدار واقعی تخمین زده می شود (۱۳). لونگ (Leung MK) و همکارانش، فاکتور افزایش دوز و همچنین برد ذرات ثانویه را برای نانوذرات طلا با ابعاد مختلف برای چشممه های مختلف تابش خارجی مورد ارزیابی قرار دادند (۱۴). چو (Cho S) و همکارانش، فاکتور افزایش دوز مربوط به نانوذرات طلا را به همراه چهار چشممه ی برآکی تراپی گسیل کننده ی گاما بررسی و در این بررسی، از یک مدل ساده برای تعریف نانوذرات در فانتوم استفاده کردند. مقدار افزایش دوز برای چشممه های کم انرژی به طور معناداری، بیشتر از چشممه های پرانرژی بود و نتیجه گیری شد که سیسپلاتین، یک ماده خوبی برای رادیوتراپی و شیمی درمانی است (۱۵).

هر چند که تاکنون مطالعات حیوانی، سلولی و فیزیکی مختلفی در مورد بررسی فاکتور افزایش دوز در تومور در حضور نانوذرات انجام شده، اما هنوز در درمان پروستات، مطالعه ای که به حالت واقعی درمان نزدیک باشد و فاکتور افزایش دوز را برای مواد نانوذرات مختلف بررسی کرده باشد، مورد پژوهش قرار نگرفته است. لذا در تحقیق حاضر با فاکتور افزایش دوز در نقاط مختلف بر روی مقطع مرکزی تومور پروستات در حالت چینشی ۴۸ تایی چشممه ی ید ۱۲۵ در داخل تومور در حضور نانوذرات مختلف محاسبه خواهد شد. درنهایت، مقادیر DEF (Dose Enhancement Factor) به دست آمده، برای نانوذرات مختلف و غلظت های مختلف با یکدیگر



شکل ۱: هندسه چشمی شامل ابعاد و مواد قسمت های مختلف آن



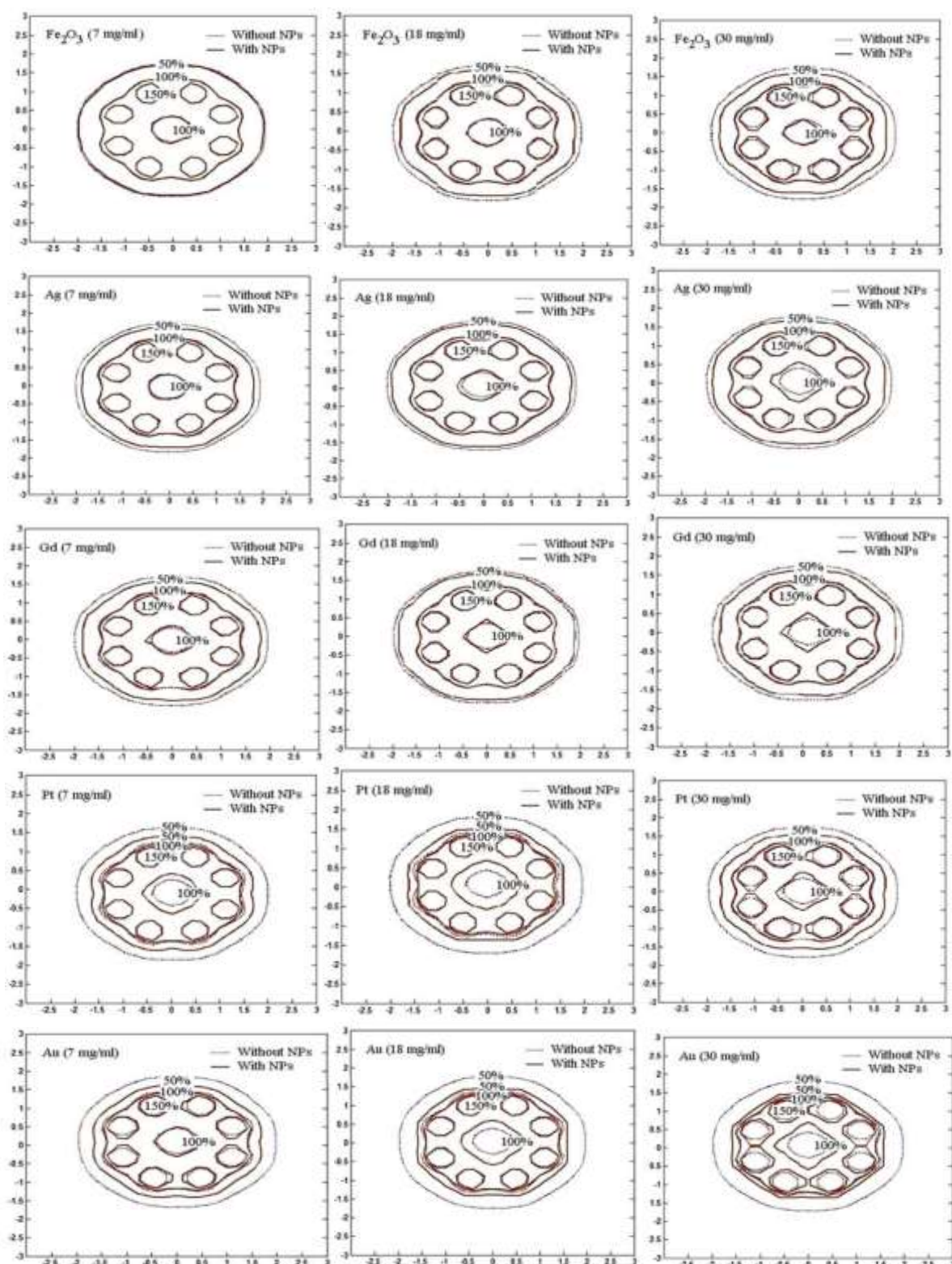
شکل ۲: نمایی از شبیه سازی چشمی ها و تومور؛ (الف): تومور پروستات و نحوه چینش چشمی ها. (ب): تومور پروستات و محل محاسبه فاکتور افزایش دوز

برای تعداد  $10^8$  ذره اجراء شد. انرژی قطع برای الکترون و فوتون  $0.005 \text{ MeV}$  در نیز گرفته شد و خطای مونت کارلو آن  $0.06$  درصد به دست آمد. با تقسیم دوز جذبی بر کرمای هوا، مقدار ثابت آهنگ دوز  $\text{cGy} \cdot \text{h}^{-1} \text{U}^{-1}$  به دست آمد.

تابع دوز شعاعی به این صورت حساب شد که چشمی در مرکز کره ای به شعاع  $15 \text{ سانتی متر}$  محتوی آب قرارداده و در چنبره هایی به صورت عرضی در فواصل  $0.1$  تا  $10 \text{ سانتی متر}$  محاسبه شد. این برنامه، برای  $10^8$  ذره محاسبه شده و انرژی قطع برای الکترون و فوتون  $\text{MeV}$   $0.005$  بود. به طوری که حداقل خطا  $0.06$  درصد و میانگین خطای مونت کارلو  $0.02$  درصد به دست آمد. شار را به کمک تالی  $F4^*$  محاسبه شد که میانگین خطاهای  $0.029$  درصد به دست آمد. در جدول (۱) با داده های ریوارد و همکاران (۱۶) مقایسه شد.

برای محاسبه تابع ناهمسانگردی چشمی را در مرکز کره ای به شعاع  $15 \text{ سانتی متر}$  قرارداده و شار در چنبره هایی که برای زوایای  $5$  تا  $90^\circ$  درجه و فواصل  $1$ ,  $2$ ,

$5$ ,  $10$ ,  $20$  از فاصله  $40$  تا  $50 \text{ سانتی متر}$  به ازاء هر  $2 \text{ cm}$  تعریف کردیم. کرمای هوا به کمک تالی  $F6$  در این چنبره ها محاسبه شد. این مقادیر در  $R^2$  (فاصله چنبره ها از مرکز چشمی در راستای محور عرضی می باشد) ضرب و سپس مقادیر حاصل شده بر حسب  $R$  رسم شد. در ناحیه ای که  $f6 \times R^2$  ثابت و یکنواخت می شود، میانگین گیری آن و از عدد حاصل در محاسبه AKS استفاده شد. این برنامه، برای تعداد  $10^7$  ذره اجراء شد و انرژی قطع برای الکترون و فوتون  $0.005 \text{ MeV}$  در نظر گرفته شد. حداقل خطای مونت کارلو برای این برنامه،  $0.08$  درصد گزارش شد. برای محاسبه DRC دوز جذبی بر اساس روش فرمول بندی ارائه شده در گزارش TG-43 انجمن فیزیک پزشکی امریکا (۱۶) انجام شد. به این صورت که کره ای به شعاع  $15 \text{ سانتی متر}$  که درون آن با آب پرشده و چنبره ای به ضخامت  $0.05 \text{ cm}$  و پهنای  $0.05 \text{ cm}$  که در فاصله  $1 \text{ cm}$  از چشمی قرار گرفته بود، تعریف شد. سپس با تالی  $F4^*$  در انرژی های مختلف محاسبه و در ضربی جذب انرژی مربوط ضرب شد و دوز جذبی به دست آمد. این برنامه



شکل ۳: منحنی های هم دوز شامل منحنی های ۱۰۰، ۱۵۰ و ۲۰۰ درصد در حضور مواد جاذب مورد مطالعه در غلظت های ۷، ۱۸ و ۳۰ میلی گرم بر میلی لیتر

نظرگرفته شد. حداقل خطا، ۹/۱ درصد و میانگین خطای ۰/۴ درصد گزارش شد. به کمک ضریب جذب جرمی انرژی، شار به دوز جذبی تبدیل شد. همانطور که در

۳، ۵ و ۷/۵ سانتی متر تعریف شده بودند، به کمک تالی F4<sup>\*</sup> محاسبه شد. این برنامه برای  $1/5 \times 10^8$  ذره اجراء و انرژی قطع برای الکترون و فوتون Mev ۰/۰۰۵ در

پارامتر DEF در روی مقطع مرکزی در راستای محور X به صورت نسبت مقدار دوز دریافت شده در یک نقطه در داخل بافت تومور و در حضور نانوذره به دوز در همان نقطه در داخل بافت تومور در غیاب نانوذره تعریف شد. برای محاسبه‌ی دوز در نقاط مختلف تومور، از دستور MESH استفاده شد. MESH مورد استفاده، یک شبکه‌ی مستطیلی بود که در راستای X و Y از  $4/5$  تا  $4/5$  سانتی‌متری امتداد و در راستای Z،  $0/2$  سانتی‌متری MESH پهناور شد. با استفاده از مقایسه‌ی به دست آمده از DEF دوز در محور X استخراج شد و برای محاسبه‌ی دوز در محور X به کار رفت و همچنین منحنی‌های هم‌دوز  $50$ ،  $100$  و  $150$  درصد ترسیم شد (مرجع برای مقدار  $100$  درصد روی محور X و در فاصله  $1/5$  سانتی‌متری بود) (شکل (۳)).

### یافته‌ها

مقادیر به دست آمده از این تحقیق، با نتایج داده‌های مرجع دانشگاه کارلتون ( $11$ ) مقایسه شد. مقدار ثابت آهنگ دوز در این مطالعه،  $cGy h^{-1} \cdot U^{0/954}$  به دست آمد، در حالی که همین مقدار، در داده‌های مرجع دانشگاه کارلتون  $cGy h^{-1} \cdot U^{0/932}$  ( $11$ ) گزارش شده که درصد اختلاف  $2/31$ ٪ به دست آمد. مقادیر تابع دوز شعاعی و تابع ناهمسانگردی در این مطالعه، به صورت جدول  $1$  و  $2$  گزارش شد.

حداکثر اختلاف برای مقادیر تابع دوز شعاعی، مربوط به فاصله‌ی  $0/1$  سانتی‌متری و برابر  $13/99$ - درصد می‌باشد که این درصد اختلاف منفی، به معنای این است که داده‌های ما، کمتر از داده‌های دیگران می‌باشد. بیشینه‌ی اختلاف برای تابع ناهمسانگردی، مربوط به فاصله‌ی  $1$  سانتی‌متری و زاویه‌ی  $30$  درجه بود و برابر  $11/38$  درصد است. برای سایر مقادیر اختلاف، خیلی کمتر از این مقدار می‌باشند.

فاکتور افزایش دوز بر روی محور X در داخل تومور و اطراف آن محاسبه‌گردید. بیشینه و متوسط مقادیر

جدول (۱) ارائه شده، میانگین خطای  $2/25$  به دست آمد. در این مطالعه، برای محاسبه ANF، DRC و AKS از روابط مربوط در گزارش TG43-U2 استفاده شد (۲۰). روش انجام کار:

هندسه‌ی شبیه‌سازی، در تعریف تومور و بافت‌های اطراف آن و توزیع  $48$  چشم‌های ید- $125$  در داخل تومور، همانند هندسه‌ی مطالعه دکتر میگونی و همکارانش (۲۱) در نظر گرفته شد. برای اساس، توموری کروی به شعاع  $1/5$  cm مشکل از بافت ۴ ترکیبی ICRU؛ اکسیژن ( $76/2$ ٪)، کربن ( $11/1$ ٪)، هیدروژن ( $10/1$ ٪) و نیتروژن ( $2/6$ ٪) در نظر گرفته شد (۱۷). در اطراف این کره، کره‌ای هم‌مرکز به شعاع  $15$  cm با همین ترکیب بافت در نظر گرفته شد. در اطراف این کره نیز، کره‌ای هم‌مرکز مشکل از هوا به شعاع  $150$  cm در نظر گرفته شد.

تعداد  $48$  عدد چشم‌های در تومور توزیع شد. توزیع چشم‌های بدین صورت بود که در مقطع مرکزی در فاصله  $1/2$  سانتی‌متر از مرکز تومور،  $8$  ردیف چشم‌های در نظر گرفته شد که در هر ردیف، شش چشم‌های به فاصله‌ی  $0/5$  mm از هم قرارداده شد. چشم‌های به صورت متقارن توزیع شدند که در شکل (۲) نشان داده شده‌اند. چگالی مخلوط بافت و نانو ذرات در حالت‌های مختلف، متفاوت بود که در شبیه‌سازی لحاظ شد.

برنامه برای  $10^6$  ذره اجراء شد و انرژی قطع برای الکترون و فوتون،  $MeV^{0/01}$  در نظر گرفته شد. در مرحله‌ی بعد، با استفاده از دستور Lattice در کد MCNPX ناحیه‌ی تومور از نانو ذراتی به ابعاد  $50$  nm و به طور دقیق به صورت کره‌هایی شبیه‌سازی و به کمک مواد کانتراست Au، Ag،  $Fe_2O_3$ ، Pt، Gd با غلظت‌های  $7$ ،  $18$  و  $30$  mg/ml برسی شدند (۲۰-۲۲). ترکیب تومور و بافت نرمال فرقی نداشت. فقط تومور، محتوای نانو ذرات بود، ولی بافت‌های سالم، که تعداد این نانو ذرات از مرتبه  $10^3$  تا  $10^5$  بود، بدون نانو ذرات بودند.

فاکتور افزایش دوز:

TG-125/SHTG-125 شبیه‌سازی و با مقایسه‌ی پارامترهای TG-43 تاییدگردید. مشخصه‌ها و پارامترهای TG-43 در توافق خوبی با داده‌های مرجع دانشگاه کارلتون (۱۱) بودند. بیشترین اختلاف برای محاسبات ثابت آهنگ دوز، تابع دوز شعاعی و تابع ناهمسانگردی، به ترتیب ۲/۳۶، ۱۱/۳۸ و ۱۱/۳۸ درصد بود و در سایر مقادیر، داده‌ها نزدیک داده‌های مرجع دانشگاه کارلتون (۱۱) بودند. جهت اطلاع نویسنده‌گان مطالعه‌ی حاضر، باید گفت این مقادیر توسط فرد دیگری شبیه‌سازی نشده است. لذا داده‌های شبیه‌سازی شده توسط این مطالعه، می‌تواند به عنوان مرجع و رفرنس جهت سایر نویسنده‌گان مورد استفاده قرار گیرد.

بیشترین مقدار DEF برای نانو ذرات طلا با غلظت ۳۰ mg/ml و برابر ۱/۷۹ بود که این مقدار، نشان می‌دهد که دوز تا میزان ۷۹ درصد داشت.

به طور کلی، DEF برای طلا در غلظت ۳۰ mg/ml و پلاتین در غلظت ۱۸ mg/ml، بیشترین مقدار گزارش می‌شود. در جدول ۳ با مقایسه‌ی ارتباط DEF را با نانو ذرات مشاهده می‌شود که برای تمامی نانو ذرات در غلظت ۷ mg/ml، بیشینه DEF با افزایش عدد اتمی افزایش خواهد یافت، اما نمی‌توان یک نظم عمومی برای افزایش‌ها و یا کاهش‌ها در بیشینه DEF ها به دست آورد. این امر، ممکن است به این علت باشد که هندسه‌ی به کار رفته در این مطالعه، هندسه پیچیده‌ای است و عوامل دیگر مانند فاصله از چشممه‌ها و همچنین مسیری که فوتون‌ها در محیط نانو ذره طی می‌کند تا محل محاسبه دوز، متفاوت خواهد بود. لازم به ذکر است که طیف فوتون‌های نشرشده از چشممه تا رسیدن به محل محاسبه دوز، تغییر می‌کند و لذا دوز رسیده به هر نقطه، متفاوت خواهد بود.

در مجموع می‌توان به این نتیجه رسید که حضور نانوذرات به علت این که منجر به افزایش دوز در تومور می‌شود، روشهای مناسب در برآکی تراپی پروستات می‌باشد. با توجه به افزایش دوز در تومور در حضور نانوذرات، می-

**جدول ۱: مقادیر تابع دوز شعاعی در مطالعه حاضر و مقایسه آن با مقادیر متناظر در داده‌های مرجع دانشگاه کارلتون (۱۱)**

فاصله (سانتی‌متر)	مطالعه حاضر	مطالعه	داده‌های کارلتون [۱۱]	درصد اختلاف
۰/۱	۰/۹۱	۱/۰۵۸	۱/۰۵۸	-۱۳/۹۹
۰/۲	۱/۰۰	۱/۰۹۲	۱/۰۹۲	-۸/۴۲
۰/۳	۱/۰۴	۱/۰۹۱	۱/۰۹۱	-۴/۶۷
۰/۴	۱/۰۵	۱/۰۸۴	۱/۰۸۴	-۳/۱۴
۰/۵	۱/۰۵	۱/۰۷۴	۱/۰۷۴	-۲/۲۳
۰/۶	۱/۰۵	۱/۰۶۳	۱/۰۶۳	-۱/۲۲
۰/۷	۱/۰۴	۱/۰۴۶	۱/۰۴۶	-۰/۵۷
۰/۸	۱/۰۳	۱/۰۳۰	۱/۰۳۰	۰/۰۰
۰/۹	۱/۰۱	۱/۰۱۵	۱/۰۱۵	-۰/۴۹
۱/۰	۱/۰۰	۰/۹۹۹	۰/۹۹۹	۰/۱۰
۱/۵	۰/۹۲	۰/۹۰۵	۰/۹۰۵	۱/۶۶
۲/۰	۰/۸۲	۰/۸۰۷	۰/۸۰۷	۱/۶۱
۲/۵	۰/۷۳	۰/۷۱۲	۰/۷۱۲	۲/۵۳
۳/۰	۰/۶۴	۰/۶۲۱	۰/۶۲۱	۳/۰۶
۳/۵	۰/۵۶	۰/۵۳۹	۰/۵۳۹	۳/۹۰
۴/۰	۰/۴۹	۰/۴۶۹	۰/۴۶۹	۴/۴۸
۴/۵	۰/۴۳	۰/۴۰۷	۰/۴۰۷	۵/۶۵
۵/۰	۰/۳۷	۰/۳۵۲	۰/۳۵۲	۵/۱۱
۵/۵	۰/۳۲	۰/۳۰۳	۰/۳۰۳	۵/۶۱
۶/۰	۰/۲۸	۰/۲۵۹	۰/۲۵۹	۸/۱۱
۶/۵	۰/۲۴	۰/۲۲۴	۰/۲۲۴	۷/۱۴
۷/۰	۰/۲۰	۰/۱۹۱	۰/۱۹۱	۴/۷۱
۷/۵	۰/۱۸	۰/۱۶۳	۰/۱۶۳	۱۰/۴۳
۸/۰	۰/۱۵	۰/۱۴۰	۰/۱۴۰	۷/۱۴
۸/۵	۰/۱۳	۰/۱۲۱	۰/۱۲۱	۷/۴۴
۹/۰	۰/۱۱	۰/۱۰۴	۰/۱۰۴	۵/۷۷
۹/۵	۰/۰۹	۰/۰۸۸۵	۰/۰۸۸۵	۱/۶۹
۱۰/۰	۰/۰۸	۰/۰۷۴۲	۰/۰۷۴۲	۷/۸۲

برای هر نوع نانو ذره با سه غلظت مختلف DEF محاسبه شد که این مقادیر در جدول (۳) نمایش داده شده است.

در این مطالعه، برای این مدل چشممه، منحنی ایزو دوز ۵۰، ۱۰۰ و ۱۵۰ درصد در صفحه‌ی  $\pi$ -X مرکزی رسم گردید. این منحنی‌ها در حضور نانوذرات اکسید آهن، طلا، نقره، گادولینیوم و پلاتین در غلظت‌های ۷، ۱۸ و ۳۰ mg/ml در شکل (۳) نشان داده شده‌اند.

## بحث

در این مطالعه، چشممه‌ی ۱۲۵ مدل-SL

جدول ۲: مقادیر تابع ناهمسانگردی در زوایا و فواصل مختلف اطراف چشم

r=7/5				r=5				r=3				r=2				r=1				راویه (%)
درصد اختلاف	کارلتو (n=11)	مطالعه حاضر	درصد اختلاف	کارلتو (n=11)	مطالعه حاضر	درصد اختلاف	کارلتو (n=11)	مطالعه حاضر	درصد اختلاف	کارلتو (n=11)	مطالعه حاضر	درصد اختلاف	کارلتو (n=11)	مطالعه حاضر	درصد اختلاف	کارلتو (n=11)	مطالعه حاضر	درصد اختلاف	کارلتو (n=11)	مطالعه حاضر
-0/54	-0/556	-0/559	-1/126	-0/514	-0/521	-1/129	-0/464	-0/470	-1/162	-0/415	-0/422	-2/93	-0/341	-0/351	-0/423	-0/384	-0/401	5		
5/57	-0/592	-0/599	-2/19	-0/549	-0/560	-2/58	-0/503	-0/516	-3/6	-0/457	-0/471	-4/43	-0/384	-0/401	-4/43	-0/484	-0/481	10		
3/68	-0/680	-0/685	4/10	-0/651	-0/624	6/42	-0/623	-0/583	7/42	-0/59	-0/546	1/64	-0/545	-0/487	1/64	-0/545	-0/487	15		
-3/82	-0/680	-0/706	-0/503	-0/651	-0/687	-0/498	-0/623	-0/504	-6/44	-0/59	-0/648	-7/34	-0/545	-0/585	-7/34	-0/545	-0/585	20		
-6/50	-0/723	-0/770	-0/713	-0/701	-0/751	-0/765	-0/680	-0/732	-8/51	-0/588	-0/714	-10/13	-0/642	-0/685	-10/13	-0/642	-0/685	25		
-7/57	-0/766	-0/824	-0/799	-0/751	-0/811	-0/811	-0/732	-0/799	-9/60	-0/719	-0/788	-11/48	-0/694	-0/773	-11/48	-0/694	-0/773	30		
-6/39	-0/814	-0/866	-0/784	-0/81	-0/863	-0/810	-0/791	-0/859	-9/61	-0/778	-0/852	-11/2	-0/642	-0/846	-11/2	-0/642	-0/846	35		
-5/84	-0/856	-0/906	-0/826	-0/846	-0/899	-0/890	-0/840	-0/898	-7/81	-0/832	-0/897	-8/88	-0/822	-0/895	-8/88	-0/822	-0/895	40		
-2/22	-0/901	-0/921	-0/722	-0/886	-0/919	-0/841	-0/885	-0/924	-6/77	-0/880	-0/922	-5/72	-0/874	-0/924	-5/72	-0/874	-0/924	45		
-1/84	-0/946	-0/943	-0/79	-0/941	-0/943	-0/79	-0/946	-0/942	-7/48	-0/941	-0/942	-7/61	-0/941	-0/945	-7/61	-0/941	-0/945	50		
0/00	-0/957	-0/957	-0/63	-0/949	-0/955	0/00	-0/959	-0/959	-0/42	-0/955	-0/959	-0/73	-0/956	-0/953	-0/73	-0/956	-0/953	55		
-0/10	-0/968	-0/969	-0/41	-0/965	-0/969	-0/22	-0/977	-0/970	-0/21	-0/972	-0/970	-0/10	-0/973	-0/974	-0/10	-0/973	-0/974	60		
-0/10	-0/978	-0/979	-0/81	-0/982	-0/978	-0/81	-0/985	-0/980	-0/20	-0/982	-0/980	-0/10	-0/983	-0/984	-0/10	-0/983	-0/984	65		
-0/40	-0/990	-0/986	-0/10	-0/986	-0/986	-0/81	-0/991	-0/984	-0/20	-0/988	-0/986	-0/20	-0/990	-0/988	-0/20	-0/990	-0/988	70		
-0/50	-0/997	-0/997	-0/91	-0/984	-0/993	-0/80	-0/997	-0/992	-0/10	-0/994	-0/993	-0/50	-0/993	-0/995	-0/50	-0/993	-0/995	75		
-0/80	-0/995	-0/995	-0/10	-0/998	-0/997	-0/10	1/000	-0/999	-0/40	-0/995	1/000	-0/00	-0/999	-0/999	-0/00	-0/999	-0/999	80		
-0/20	-0/994	-0/994	-0/20	-0/995	-0/997	-0/20	1/001	-0/999	-0/10	-0/999	1/000	-0/00	-0/999	-0/999	-0/00	-0/999	-0/999	85		
0/00	1/000	1/000	-0/00	1/000	1/000	-0/00	1/000	1/000	-0/00	1/000	1/000	-0/00	1/000	1/000	-0/00	1/000	1/000	90		

جدول ۳: مقادیر فاکتور افزایش دوز در حضور غلظت های مختلف نانوذرات مورد استفاده در مطالعه حاضر

فاکتور افزایش دوز				بیشینه				عدد اتمی			
میانگین	۳۰ mg/ml	۱۸ mg/ml	۷ mg/ml	۳۰ mg/ml	۱۸ mg/ml	۷ mg/ml	میانگین	۳۰ mg/ml	۱۸ mg/ml	۷ mg/ml	میانگین > Fe <sub>2</sub> O <sub>3</sub>
1/47	1/36	1/33	1/29	1/79	1/44	1/43	79	Au			
1/13	1/28	1/27	1/32	1/42	1/32	78	Pt				
1/05	1/05	1/14	1/14	1/12	1/12	64	Gd				
1/04	1/06	1/13	1/15	1/14	1/14	47	Ag				
1/17	1/13	1/02	1/27	1/18	1/03	47	Fe <sub>2</sub> O <sub>3</sub>				

بسیار مفید باشد.

بیشینه DEF با افزایش غلظت نانوذرات Fe<sub>2</sub>O<sub>3</sub> و طلا، افزایش می‌یابد، اما این تاثیر برای نانوذرات پلاتین، گadolینیوم و نقره دیده نشده. مشاهدات مذکور برای میانگین DEF در داخل تومور نیز صادق است. از آنجا که ما با انرژی‌های پایین سر و کار داریم، (فوتون‌های ساطع شده از رادیوایزوتوپ ید-۱۲۵) تراکنش غالب، اثر فوتولکتریک می‌باشد. در فوتولکتریک، جذب اشعه با مکعب عدد اتمی محیط مناسب است. بنابراین، با افزایش عدد اتمی، افزایش دوز بیشتری مورد انتظار است. همچنین با افزایش غلظت نانوذرات که منجر به افزایش تعداد نانوذرات می‌شود، انتظار افزایش در میزان DEF وجود دارد. با این وجود، الگوی افزایش و کاهش دوز از قانون خاصی پیروی نمی‌کند. اثرهای دیگری در این

تواند منجر به کاهش زمان درمان و یا استفاده از چشم به اکتیویته کمتر شود که این خود، باعث افزایش حفاظت بافت‌های سالم اطراف و افراد در تماس با بیمار خواهد شد. همچنین با توجه به این که زمان درمان پایین-می‌آید، در نتیجه احتمال حرکت چشم‌های درون‌بافت و به‌هم خوردن چینش آن‌ها و خطأ در میزان دوز تحويل داده شده به تومور، کم می‌شود.

همانطور که در بخش نتایج اشاره شد، دوز خارج از تومور پایین‌می‌آید و این کاهش دوز در راستای محور X در برخی موارد تا ۲۹٪ نیز می‌رسد. این اثر، به علت جذب دوز در داخل تومور و تراکنش فوتون‌ها با نانوذرات می‌باشد. این نیز، مزیت دیگر استفاده از نانوذرات در داخل تومور است. این کاهش دوز با توجه به اهمیت حفظ بافت‌های سالم اطراف تومور، می‌تواند

در فاصله ۱/۵ سانتی‌متری مرکز است و دومین کانتور ۱۰۰ درصد در فضای بین ۸ چشمہ و در داخل تومور قراردارد. کانتور ۵۰ درصد بیرون از ناحیه‌ی تومور و تعداد ۸ عدد کانتور ۱۵۰ درصد در اطراف چشمہ‌ها قرار دارد. پس از حضور نانو ذرات در تومور، کانتور ۵۰ درصد که در خارج تومور قرارداشت، بسته‌تر شده و به سمت کره ۱/۵ سانتی‌متری تومور نزدیک گردید و همچنین کانتور ۱۰۰ درصد که در داخل تومور قرارداشت، بازتر شده و به سمت کره ۱/۵ سانتی‌متری تومور نزدیک گردید. مشاهده شد با افزایش عدد اتمی یا افزایش غلظت، این باز و بسته‌شدن ایزو دوزها افزایش می‌یابد.

در این تحقیق تومور پروستات و بافت سالم به صورت بافت یکسانی در نظر گرفته شد، درحالی که در واقعیت و عمل، این دو نوع بافت، کمی متفاوت خواهند بود. در حالت حضور نانو ذرات بافت ناحیه تومور تغییر می‌کند. در عمل مقداری از نانو ذرات توسط بافت‌های سالم اطراف تومور هم جذب می‌شوند که این باعث افزایش دوز جذبی در ناحیه‌ی خارج تومور خواهد شد. در این تحقیق، این موضوع بررسی نگردیده است و پیشنهادی گردد در مطالعات بعدی این مورد بررسی شود. همچنین تحقیقات ژل دزیمتری برای مطالعات آینده توصیه می‌گردد. نیز پیشنهادی شود بررسی منحنی‌های هم‌دوز علاوه بر محور مرکزی  $\text{U}^{238}$  بر روی صفحات دیگر تومور نیز بررسی گردد. با توجه به این که برآکری تراپی سرطان پروستات با چشم‌های  $\text{Pd}^{103}$  و  $\text{Cs}^{137}$  نیز انجام می‌شود (۲۵)، انجام مطالعه‌ای مشابه با این تحقیق و مقایسه‌ی نتایج آن با نتایج مطالعه‌ی حاضر نیز توصیه می‌گردد.

با توجه به نتایج حاصل از شبیه‌سازی، می‌توان به این نتیجه رسید که حضور نانو ذرات، باعث افزایش دوز در تومور و کاهش دوز در خارج تومور بر روی منحنی‌های هم دوز می‌شود. لذا میتوان زمان درمان و اکتیویته را کاهش داد. بنابراین، استفاده بالینی از این نانو ذرات به-

قضیه، از جمله جذب فوتون‌ها و تغییر انرژی مؤثر اشعه هنگامی که فوتون در حال عبور از بافت است، مؤثر است. از آنجایی که دوز در هر پیکسل، نتیجه‌ی مؤلفه‌های مختلف دوز از چشم‌های متفاوت است، اثرات بالا برای پیکسل‌های مختلف داخل تومور متفاوت خواهد بود و این ناشی از فاصله‌ی چشم‌های مختلف تا پیکسل‌های متفاوت می‌باشد. با افزایش غلظت نانو ذرات، تعداد اتم‌های نانو ذره در هر نقطه بیشتر خواهد شد و همین امر، باعث زیاد شدن دوز می‌شود. اما حضور تعداد زیاد نانو ذره در تومور، منجر به این می‌شود که جذب پرتو در فاصله‌ی بین چشم‌های و نقطه‌ی محاسبه دوز زیاد شود. با توجه به همه این دلایل، تحلیل و توضیح گرایش به افزایش و یا کاهش در DEF با توجه به حضور نانو ذرات مختلف با غلظت‌های متفاوت و همچنین چینش پیچیده‌ی چشم‌های، بسیار دشوار می‌باشد. با توجه به مقدایر بیشینه DEF در داخل تومور پروستات، درجهت رسیدن به بیشترین افزایش دوز در داخل تومور در برآکری تراپی پروستات، استفاده از غلظت زیاد از نانو ذرات طلا و پلاتین پیشنهاد می‌شود. اما باید در نظر داشت که استفاده از غلظت‌های زیاد، به لحاظ بالینی با محدودیت‌هایی مواجه هستیم زیرا می‌تواند منجر به ایجاد سمیّت در بافت‌های سالم نماید. در این مطالعه، غلظت‌های برابر (۷، ۱۸ و ۳۰ میلی گرم بر میلی لیتر) از نانو ذرات مختلف تحت بررسی قرار گرفت، درحالی که بیشتر مطالعات گذشته، از نانو ذرات طلا در محاسبه DEF استفاده کرده‌اند (۶، ۱۵). با این حال، باید در نظر داشت که نانو ذرات مختلف، اثرات سمیّت مختلفی دربردارد. به بیان دیگر، ما از غلظت‌هایی استفاده کردیم که قبل از مورد نانو ذرات طلا پیشنهاد شده بود (۶)، اما در مورد نانو ذرات اکسید آهن، نقره، گادولینیوم و پلاتین ممکن است اثر سمیّت یکسانی نداشته باشد، که در این زمینه، مطالعات بیشتری نیاز می‌باشد.

با توجه به شکل (۳) مشاهده گردید دو عدد کانتور ۱۰۰ درصد وجود دارد که اولین آن بر روی لبه‌ی تومور

## تشکر و قدردانی

منظور افزایش دوز در برآکی تراپی پروستات توصیه می-

شود.

از معاونت تحقیقات و فناوری دانشگاه علوم  
پزشکی خراسان شمالی جهت حمایت مالی این تحقیق  
تقدیر می‌گردد.

### References

1. Kuban DA, Potters L, Lawton CA . Prostate cancer. In:Gunderson LL, Tepper JE (eds) Clinical radiation oncology. Elsevier, Philadelphia. 2007; 1165–236.
2. Nguyen PL, Zietman AL. High-dose external beam radiation for localized prostate cancer: current status and future challenges. *Cancer J.* 2007;13(5):295-301.
3. Li Z, Palta JR, Fan JJ. Monte Carlo calculations and experimental measurements of dosimetry parameters of a new 103Pd source. *Med Phys.* 2000;27(5):1108-12.
4. Holmgren-Andersson M. Brachytherapy for cancer of the cervix. 3D dose distributions for new ring applicator using BrachyVision, for clinical use. Master of Sciences Thesis, Medical Radiation Physics Department, Lund University, Lund. 2006.
5. Cho SH. Estimation of tumour dose enhancement due to gold nanoparticles during typical radiation treatments: a preliminary Monte Carlo study. *Phys Med Biol.* 2005;50(15):N163-73.
6. Cho SH, Jones BL, Krishnan S. The dosimetric feasibility of gold nanoparticle-aided radiation therapy (GNRT) via brachytherapy using low-energy gamma-/x-ray sources. *Phys Med Biol.* 2009;54(16):4889-905.
7. Iwamoto KS, Cochran ST, Winter J, Holbur E, Higashida RT, Norman A. Radiation dose enhancement therapy with iodine in rabbit VX-2 brain tumors. *Radiother Oncol.* 1987;8(2):161-70.
8. Connor EE, Mwamuka J, Gole A, Murphy CJ, Wyatt MD. Gold nanoparticles are taken up by human cells but do not cause acute cytotoxicity. *Small.* 2005;1(3):325-7.
9. Roeske JC ,Nunez L, Wiederrecht G, Weichselbaum RR. 2879: Characterization of Dose Enhancement Produced by Nanoparticles. *International Journal of Radiation Oncology\* Biology\* Physics.* 2006;66(3):S707.
10. Zhang X, Xing JZ, Chen J, Ko L, Amanie J, Gulavita S, Pervez N, Yee D, Moore R, Roa W. Enhanced radiation sensitivity in prostate cancer by gold-nanoparticles. *Clinical & Investigative Medicine.* 2008;31(3):E160-E7.
11. Carleton University. 2013. [http://www.physics.carleton.ca/clrp/seed\\_database/I125/ProstaSeed\\_125SL](http://www.physics.carleton.ca/clrp/seed_database/I125/ProstaSeed_125SL). Accessed 06 Jan 2013.
12. Rivard MJ, Butler WM, DeWerd LA, Huq MS, Ibbott GS, Meigooni AS, Melhus CS, Mitch MG, Nath R, Williamson JF, et al. Supplement to the 2004 update of the AAPM Task Group No. 43 Report. *Med Phys.* 2007;34(6):2187-205.
13. Zhang SX, Gao J, Buchholz TA, Wang Z, Salehpour MR, Drezek RA, Yu TK. Quantifying tumor-selective radiation dose enhancements using gold nanoparticles: a monte carlo simulation study. *Biomed Microdevices.* 2009;11(4):925-33.
14. Leung MK, Chow JC, Chithrani BD, Lee MJ, Oms B, Jaffray DA. Irradiation of gold nanoparticles by x-rays: Monte Carlo simulation of dose enhancements and the spatial properties of the secondary electrons production. *Med phys.* 2011;38(2):624-31.
15. Cho S, Jeong JH, Kim CH, Yoon M. Monte Carlo simulation study on dose enhancement by gold nanoparticles in brachytherapy. *Journal of the Korean Physical Society.* 2010;56(6):1754-8.
16. Rivard MJ, Coursey BM, DeWerd LA, Hanson WF, Huq MS, Ibbott GS, Mitch MG, Nath R, Williamson JF. Update of AAPM Task Group No. 43 Report: A revised AAPM protocol for brachytherapy dose calculations. *Med Phys.* 2004;31(3):633-74.
17. ICRU. ICRU Report No. 44, Tissue substitutes in radiation dosimetry and measurement. ICRU, Bethesda.1989.
18. Pelowitz DB (ed), MCNPX users manual, LA-CP-07-1473 Version 2.6.0, National Laboratory, Los Alamos.2008.
19. Toossi MTB, Ghorbani M, Mowlavi AA, Taheri M, Layegh M, Makhdoomi Y, Meigooni AS. Air kerma strength characterization of a GZP6 Cobalt-60 brachytherapy source. *Reports of Practical Oncology & Radiotherapy.* 2010;15(6):190-4.
20. Yan S, Zhang D, Gu N ,Zheng J, Ding A, Wang Z, Xing B, Ma M, Zhang Y. Therapeutic effect of Fe2O3 nanoparticles combined with magnetic fluid hyperthermia on cultured liver cancer cells and xenograft liver

- cancers. J Nanosci Nanotechnol. 2005;5(8):1185-92.
21. Meigooni AS ,Luerman CM, Sowards KT. Evaluation of the dose distribution for prostate implants using various I125 and P103d sources. Med Phys. 2009;36(4):1452-8.
  22. Bahreyni Toossi MT, Ghorbani M, Mehrpouyan M, Akbari F, Sobhkhiz Sabet L, Soleimani Meigooni A. A Monte Carlo study on tissue dose enhancement in brachytherapy: a comparison between gadolinium and gold nanoparticles. Australas Phys Eng Sci Med. 2012;35(2):177-85.
  23. Mukherjee SG, O'Clانون N, Casey A, Chambers G. Comparative<i> in vitro</i> <cytotoxicity study of silver nanoparticle on two mammalian cell lines. Toxicol In Vitro. 2012;26(2):238-51.
  24. Chattopadhyay N, Cai Z, Kwon YL, Lechtman E, Pignol J-P, Reilly RM. Molecularly targeted gold nanoparticles enhance the radiation response of breast cancer cells and tumor xenografts to X-radiation. Breast cancer Res Treat. 2013;137(1):81-91.
  25. Landry G, Reniers B, Pignol J-P, Beaulieu L, Verhaegen F. The difference of scoring dose to water or tissues in Monte Carlo dose calculations for low energy brachytherapy photon sources. Med Phys. 2011;38(3):1526-33.

# Assessment of dose enhancement inside tumor in presence of various nanoparticles in tumor in prostate brachytherapy: A Monte Carlo study

*Alireza Golshan,*

North Khorasan University of Medical Sciences, Bojnurd, Iran

*Mahdi Bakhshabadi,*

Faculty of Medicine, North Khorasan University of Medical Sciences, Bojnurd, Iran

*Mohsen Khosroabdi,*

Faculty of Medicine, North Khorasan University of Medical Sciences, Bojnurd, Iran

*Mohammad Mehrpouyan*

Nutrition and Biochemistry, Faculty of Medicine, Sabzevar University of Medical Sciences, Sabzevar, Iran

Received:07/04/2014, Revised:11/05/2014, Accepted:22/05/2014

---

**Corresponding Author:**

Mahdi Bakhshabadi,  
North Khorasan University of  
Medical Sciences, Bojnurd, Iran  
Email: m.bakhshabadi@gmail.com

**Abstract**

**Background:** One of the ways to treat prostate cancer is brachytherapy using low-energy sources, such as iodine-125 ( $^{125}\text{I}$ ). The purpose of this study was to assess dose enhancement factor in tumors in the presence of various nanoparticles in prostate tumor, and the effect of these nanoparticles on isodose curves in prostate cancer brachytherapy using Monte Carlo simulation.

**Materials and Method:**  $^{125}\text{I}$  brachytherapy source model SL-125/SH-125 was simulated using Monte Carlo MCNPX code. TG-43 parameters were calculated and verified. Dose enhancement factors were evaluated in presence of  $\text{Fe}_2\text{O}_3$ , Ag, Gd, Pt and Au nanoparticles in central cross section of the tumor in concentrations of 7, 18 and 30 mg/ml.

**Results:** Dose rate constant obtained  $0.954 \text{ cGy h}^{-1}\text{U}^{-1}$ . Maximum dose enhancement factors for  $\text{Fe}_2\text{O}_3$ , Ag, Gd, Pt and Au were 1.79, 1.32, 1.14, 1.15 and 1.27, respectively. Also, the 100% isodose line shifted toward the central point of the spherical tumor and the 100% isodose line shifted outward. Dose enhancement factors had no rule in increasing or decreasing by atomic number of nanoparticles.

**Conclusion:** Regarding to the simulation results, it can be concluded that nanoparticles presence in tumor leads to dose increase inside the tumor and dose decrease outside the tumor. Therefore, we can reduce treatment time and activity. So, the clinical use of these nanoparticles is recommended to enhance prostate brachytherapy dose.

**Keywords:** Nanoparticles, Dose enhancement factor, Prostate brachytherapy, Monte Carlo simulation